

図 3.1.17 春季におけるポテンシャル水温の南北断面分布 (130°E)

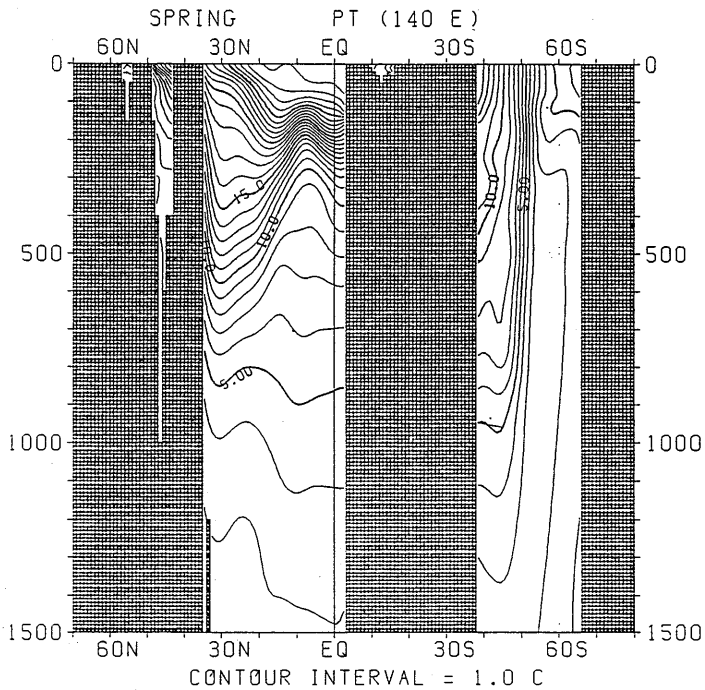


図 3.1.18 春季におけるポテンシャル水温の南北断面分布 (140°E)

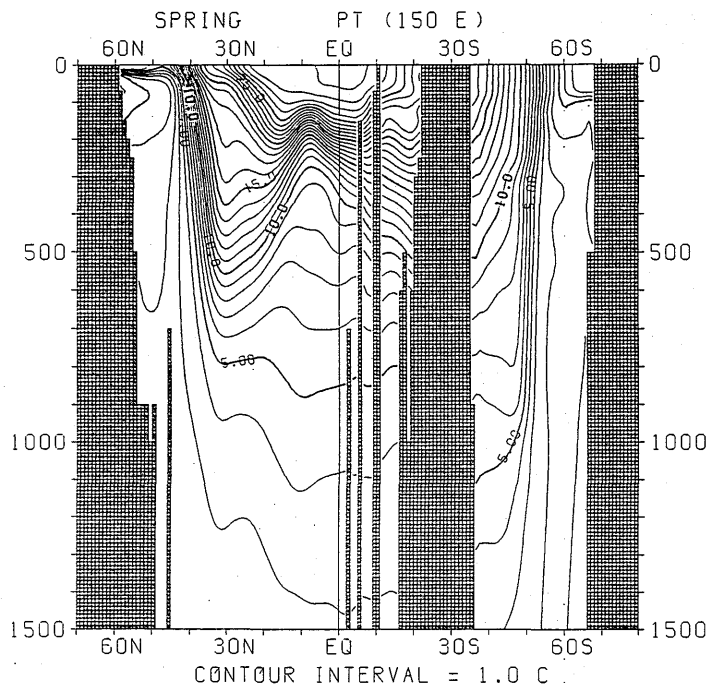


図 3.1.19 春季におけるポテンシャル水温の南北断面分布 (150°E)

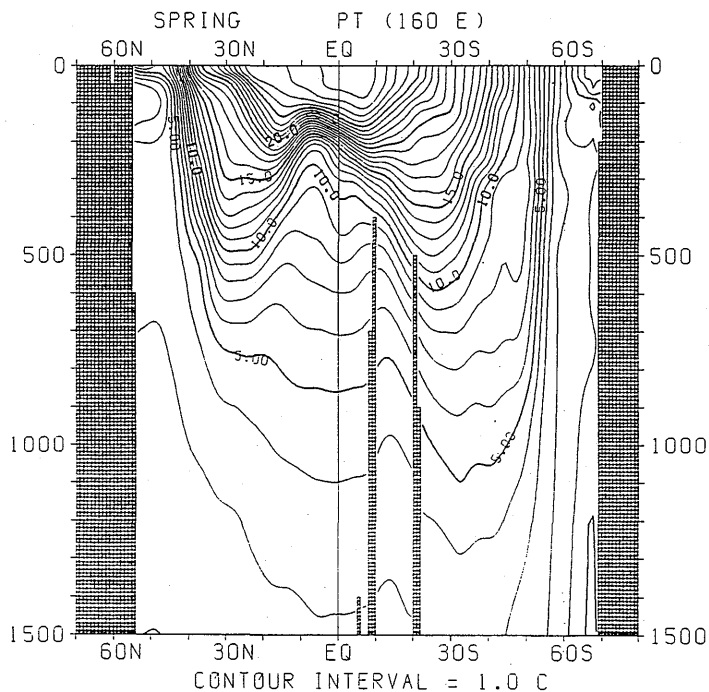


図 3.1.20 春季におけるポテンシャル水温の南北断面分布 (160°E)

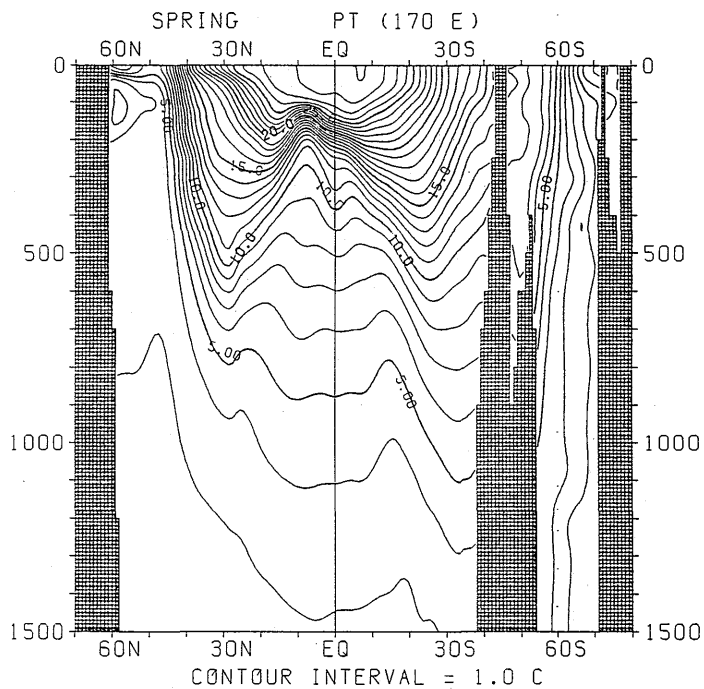


図 3.1.21 春季におけるポテンシャル水温の南北断面分布 (170°E)

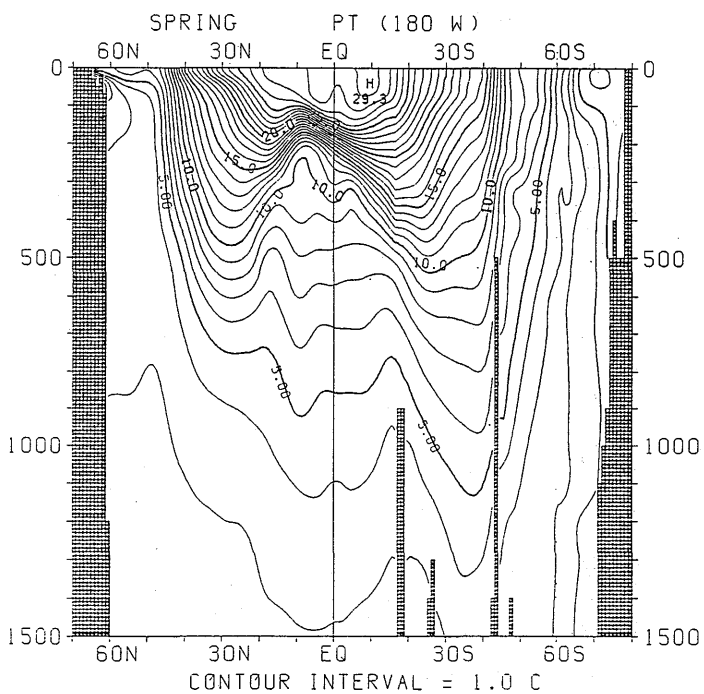


図 3.1.22 春季におけるポテンシャル水温の南北断面分布 (180°)

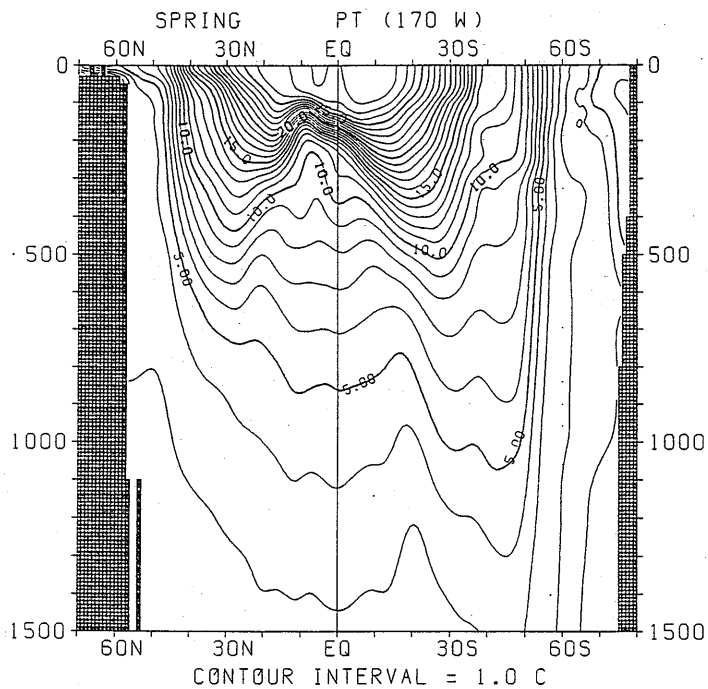


図 3.1.23 春季におけるポテンシャル水温の南北断面分布 (170°W)

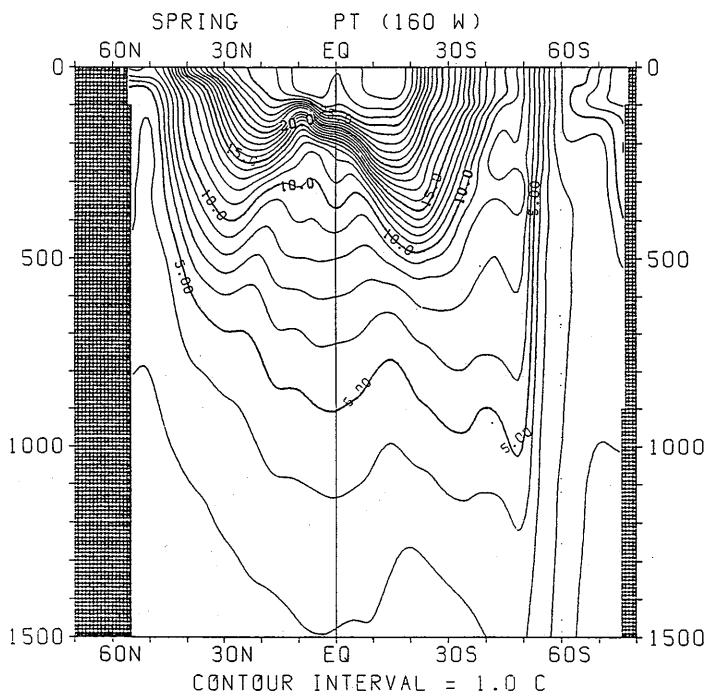


図 3.1.24 春季におけるポテンシャル水温の南北断面分布 (160°W)

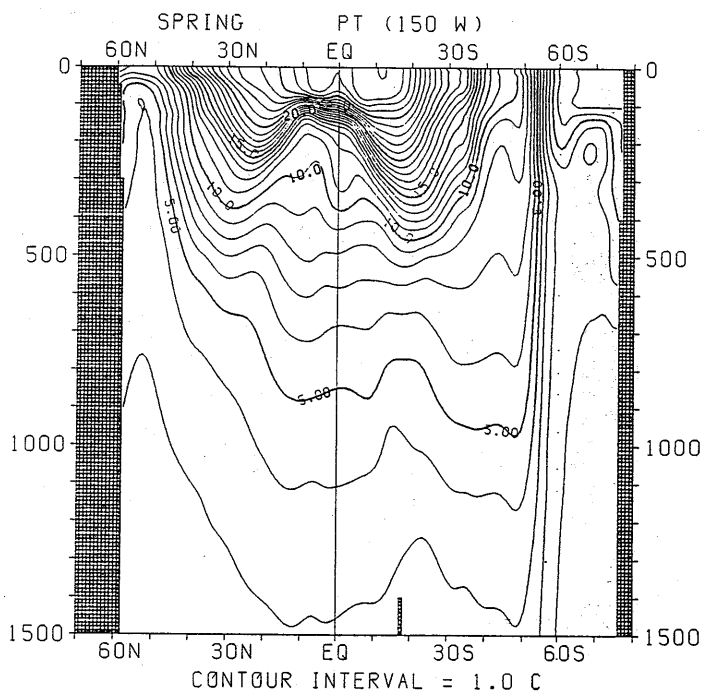


図 3.1.25 春季におけるポテンシャル水温の南北断面分布 (150°W)

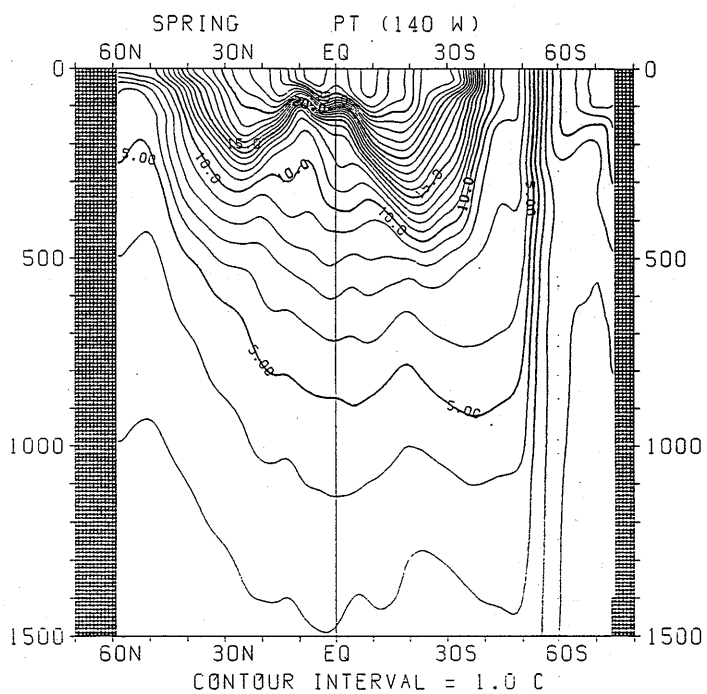


図 3.1.26 春季におけるポテンシャル水温の南北断面分布 (140°W)

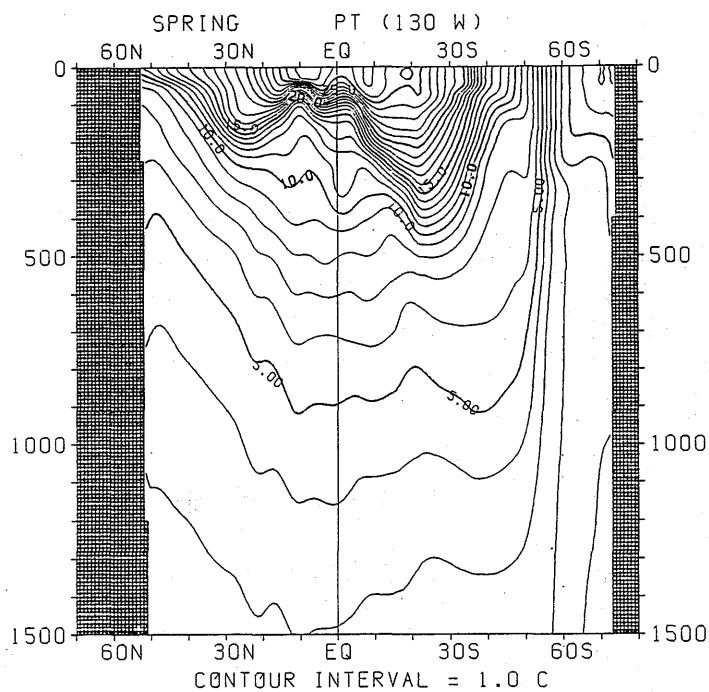


図 3.1.27 春季におけるポテンシャル水温の南北断面分布 (130°W)

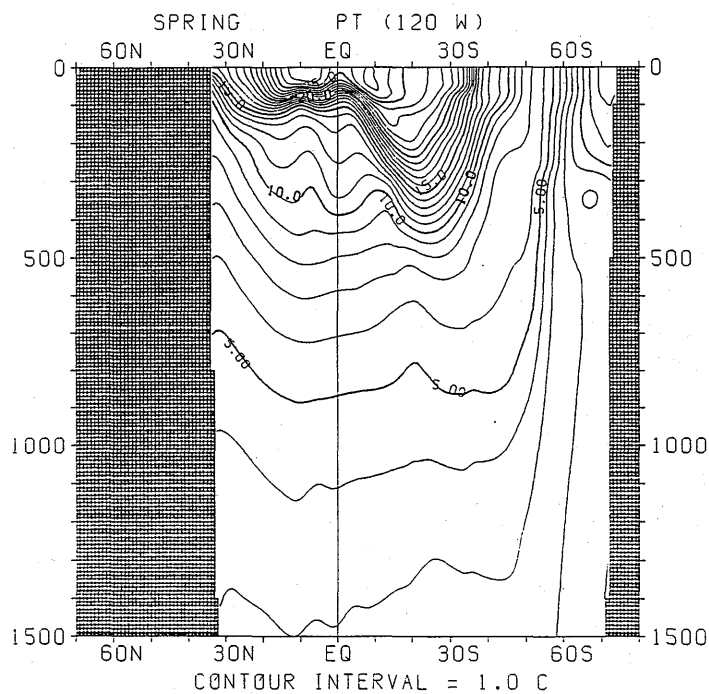


図 3.1.28 春季におけるポテンシャル水温の南北断面分布 (120°W)

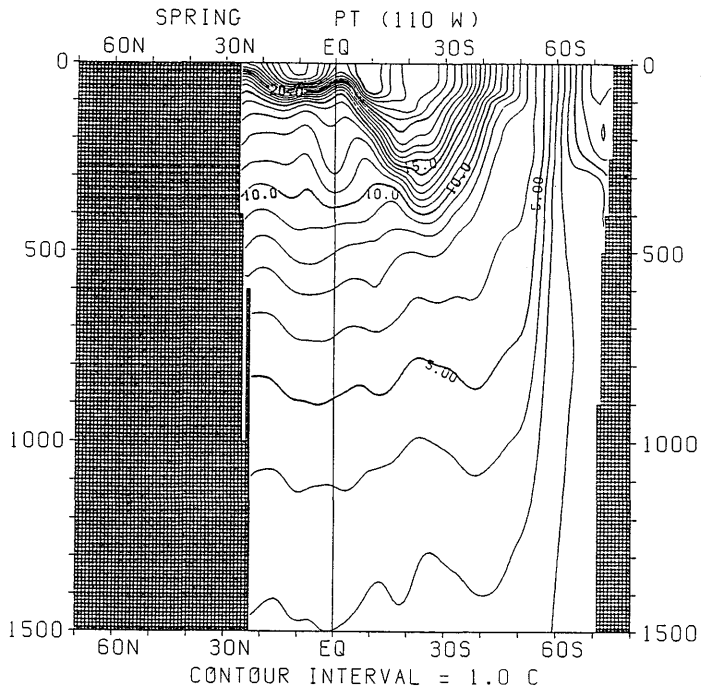


図 3.1.29 春季におけるポテンシャル水温の南北断面分布 (110°W)

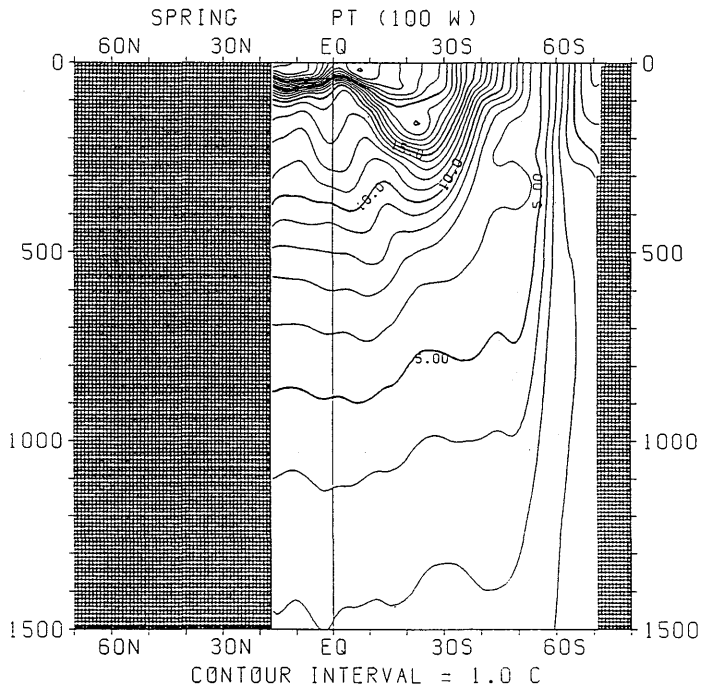


図 3.1.30 春季におけるポテンシャル水温の南北断面分布 (100°W)

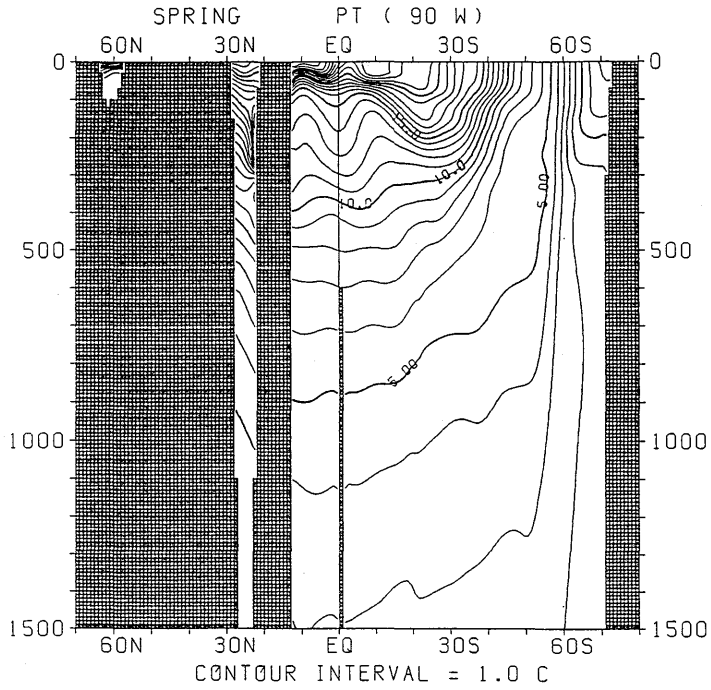


図 3.1.31 春季におけるポテンシャル水温の南北断面分布 (90°W)

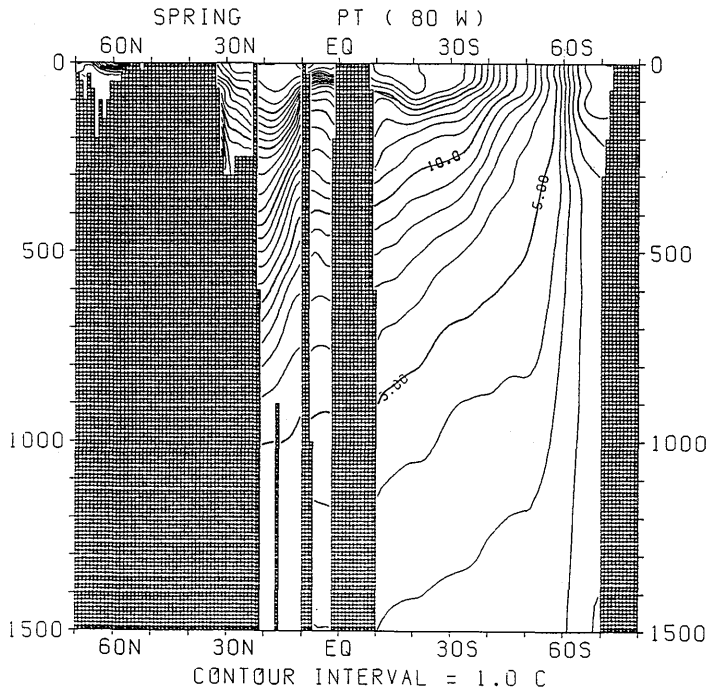


図 3.1.32 春季におけるポテンシャル水温の南北断面分布 (80°W)